



A.R.S. geologica s.n.c. di A. Baldelli, R. Maggiore, S. Crocetti

5. Report indagini effettuate

Esamineremo ora nel dettaglio ogni singola indagine HVSr riportando le relative tracce, i parametri ed risultati ottenuti.

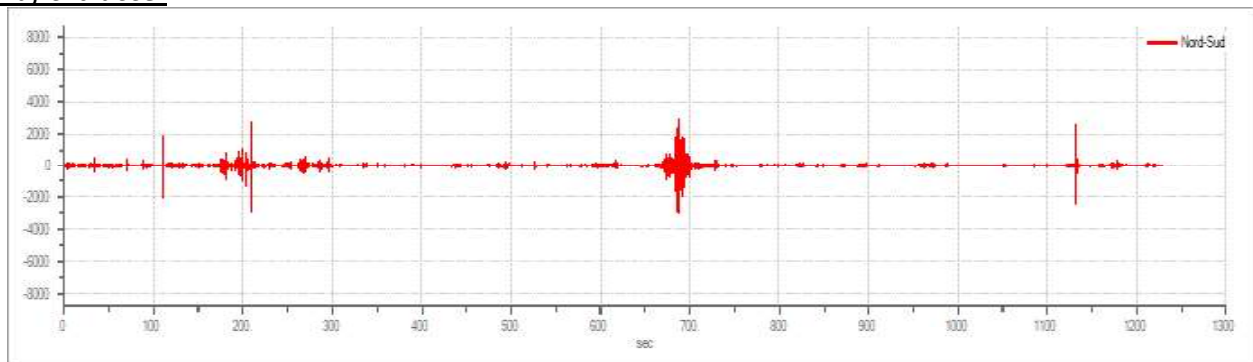
5.1 HVSr1:

Dati generali

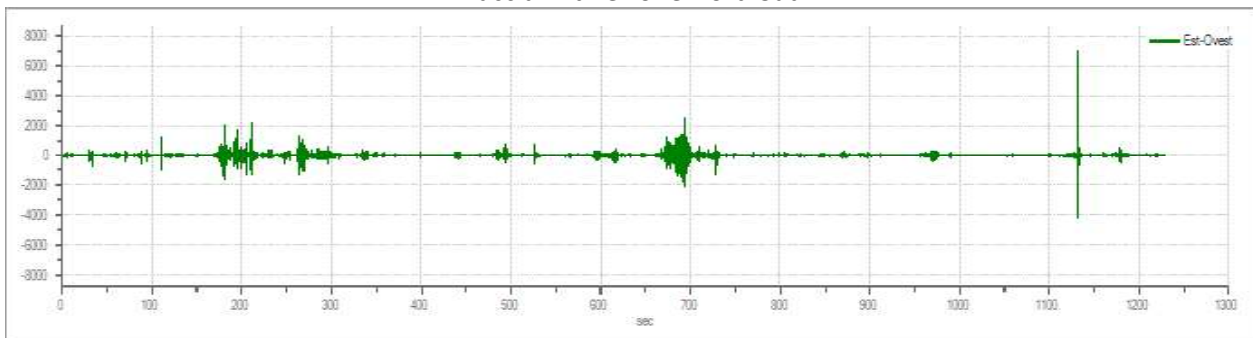


N° tracce	3
Frequenza geofoni	4.5Hz
Frequenza campionamento	200Hz
Tempo registrazione	1229 s
Numero campioni:	245800
Direzioni tracce:	Nord-Sud; Est-Ovest; Verticale
Latitudine	43,155259
Longitudine	10,669697

Grafici tracce:



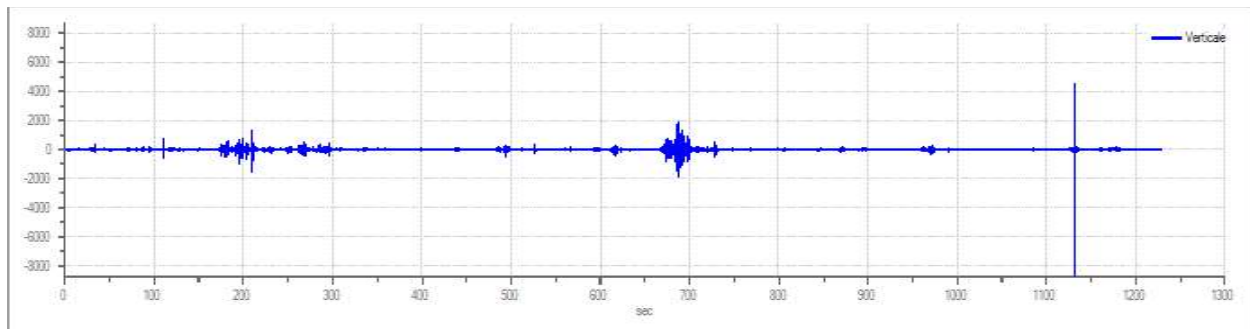
Traccia in direzione Nord-Sud



Traccia in direzione Est-Ovest



A.R.S. geologica s.n.c. di A. Baldelli, R. Maggiore, S. Crocetti

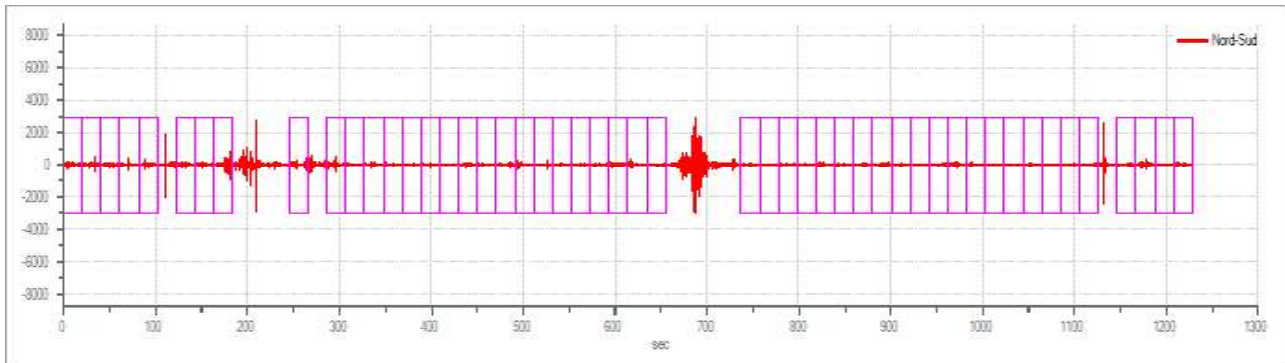


Traccia in direzione Verticale

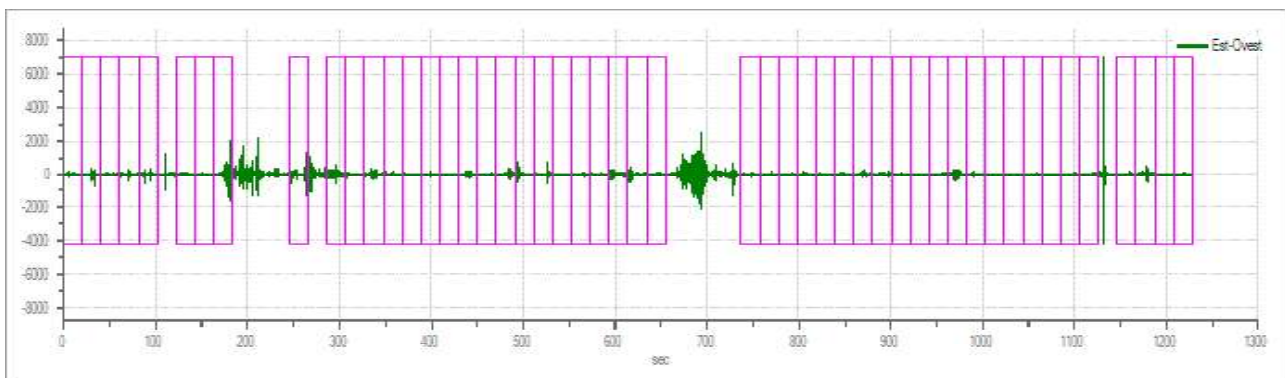
Finestre selezionate

Numero totale finestre selezionate	50
Numero finestre incluse nel calcolo	50
Dimensione temporale finestre	20,00 s
Tipo di lisciamento	Konno & Ohmachi
Percentuale di lisciamento	10,00 %
Coefficiente di banda	40,00

Grafici tracce con finestre selezionate:



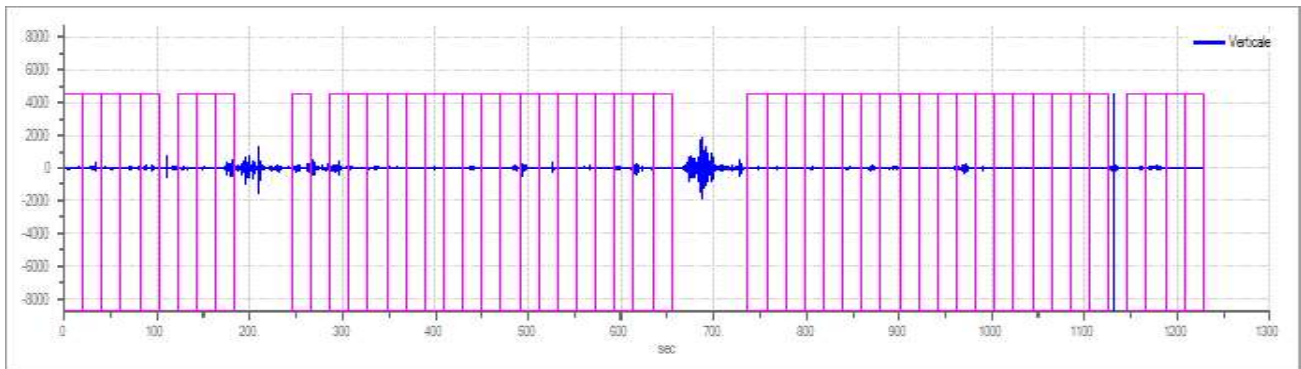
Traccia e finestre selezionate in direzione Nord-Sud



Traccia e finestre selezionate in direzione Est-Ovest

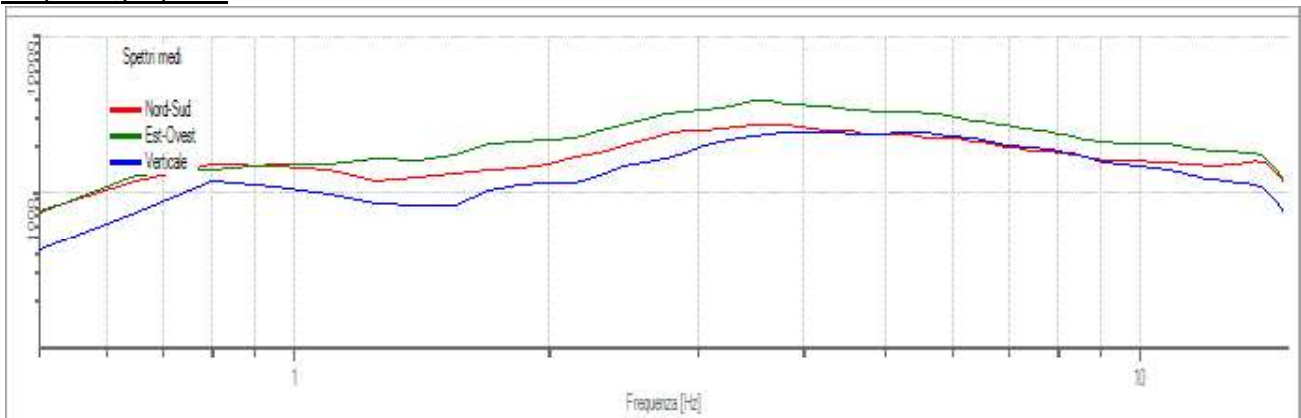


A.R.S. geologica s.n.c. di A. Baldelli, R. Maggiore, S. Crocetti

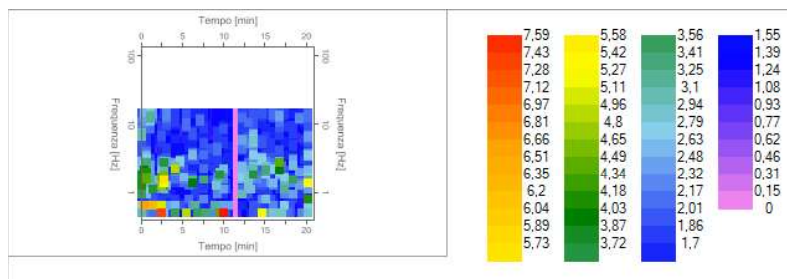


Traccia e finestre selezionate in direzione Verticale

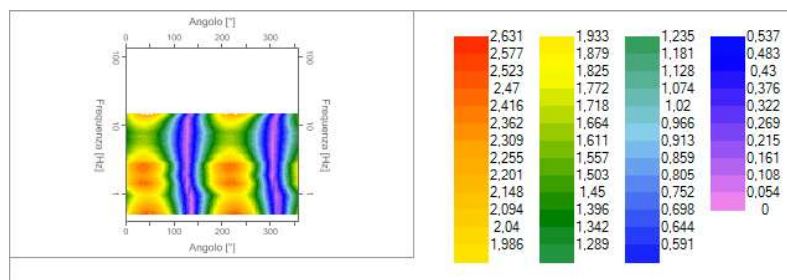
Grafici degli spettri



Spettri medi nelle tre direzioni



Mapa della stazionarietà degli spettri



Mapa della direzionalità degli spettri

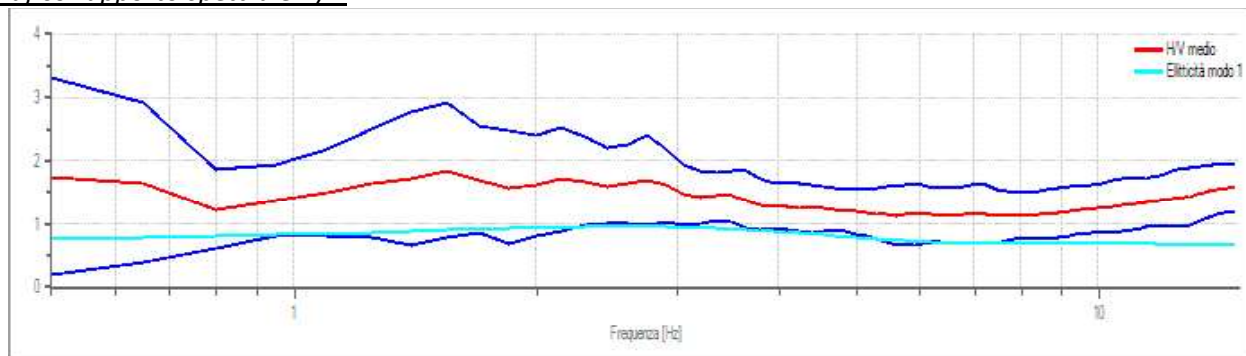


A.R.S. geologica s.n.c. di A. Baldelli, R. Maggiore, S. Crocetti

Rapporto spettrale H/V

Frequenza massima	15,00	Hz
Frequenza minima	0,50	Hz
Passo frequenze	0,15	Hz
Tipo lisciamento	Konno & Ohmachi	
Percentuale di lisciamento	10,00	%
Tipo di somma direzionale	Media aritmetica	
Frequenza del picco del rapporto H/V	1,55 Hz \pm 0,57 Hz	

Grafico rapporto spettrale H/V



Rapporto spettrale H/V e suo intervallo di fiducia

Verifica parametri SESAME	Esito
$f_0 > 10/l_w$	Ok
$n_c(f_0) > 200$	Ok
$\sigma_A(f) < 2$ per $0.5 \cdot f_0 < f < 2 \cdot f_0$ se $f_0 > 0.5H$ $\sigma_A(f) < 3$ per $0.5 \cdot f_0 < f < 2 \cdot f_0$ se $f_0 < 0.5H$	Ok
Affidabilità curva H/V	Verificata
$\exists f^- \in [f_0/4, f_0] \mid A_{H/V}(f^-) < A_0/2$	Non superato
$\exists f^+ \in [f_0, 4 \cdot f_0] \mid A_{H/V}(f^+) < A_0/2$	Non superato
$A_0 > 2$	Non superato
$f_{\text{picco}}[A_{H/V}(f) \pm \sigma_A(f)] = f_0 \pm 5\%$	Non superato
$\sigma_f < \varepsilon(f)$	Non superato
$\sigma_A(f_0) < \theta(f_0)$	Ok
Affidabilità picco	Non Verificata

Modello stratigrafico

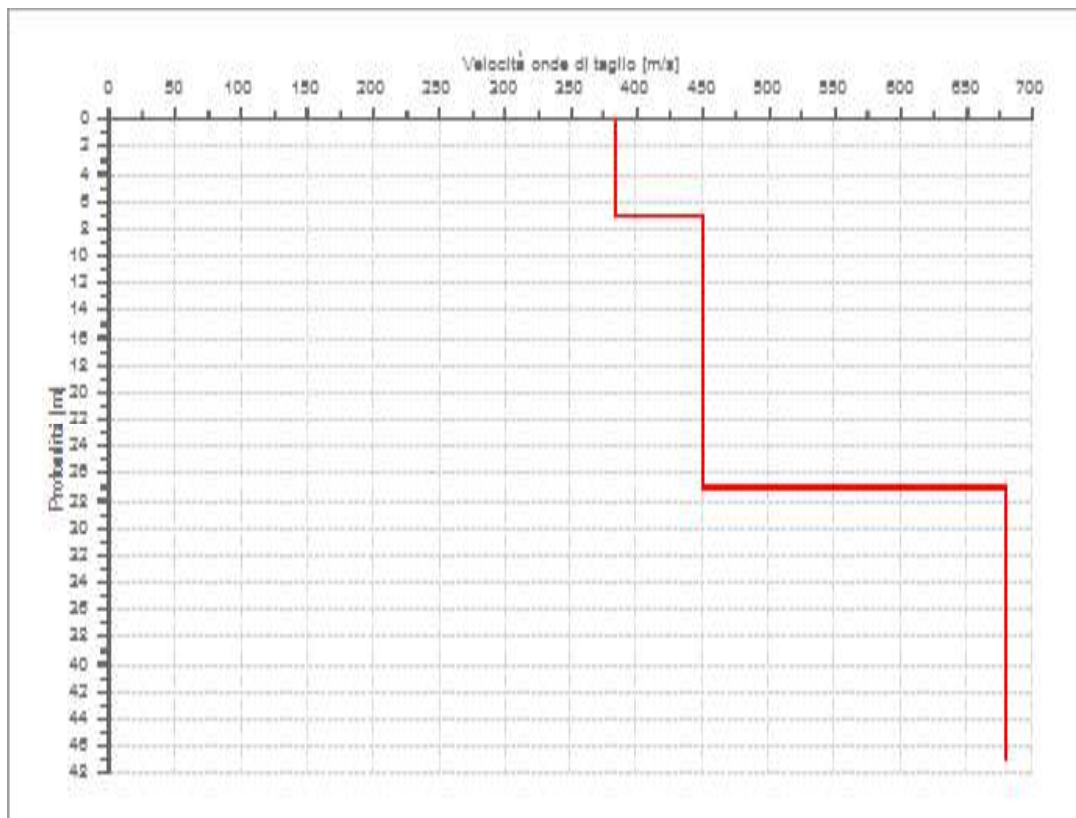
Numero strati	3
Frequenza del picco dell'ellitticità	2,60 Hz
Valore di disadattamento	0,17
Valore Vs30	447,51 m/s



A.R.S. geologica s.n.c. di A. Baldelli, R. Maggiore, S. Crocetti

Dati della stratigrafia:

Strato	Profondità [m]	Spessore [m]	Peso per Unità di Vol. [kN/m ³]	Coeff. di Poisson	Velocità onde di taglio [m/s]
1	0	6,98	18	0,3	384
2	6,98	19,99	18	0,3	450
3	26,97	20	18	0,3	680



Profilo delle velocità delle onde di taglio.